

Dr. Martín Renjifo MD. Radiólogo. Dra. Laura Ospina MD. Residente de Radiología primer año. Dr. Andrés Mendoza. MD. Residente de radiología de primer año. Dr. Oscar García. MD. Residente de radiología de tercer año. Departamento de Imágenes Diagnósticas. Fundación Valle del Lili. Cali, Valle del Cauca

### Introducción

La osteoartrosis patelofemoral, es una enfermedad de tendencia creciente en su incidencia ya sea de origen degenerativo o traumático, explicado en parte por aumento en la expectativa de vida, siendo así una enfermedad de gran impacto social y económico en el mundo.

Dentro de los avances terapéuticos para su tratamiento se encuentran los aloinjertos osteocondrales de patela como alternativa a la artroplastia, con estas nuevos tratamientos es necesario herramientas para su evaluación y seguimiento.

La escala MOCART ( MR Observations Of Cartilage Repair Tissue), publicada por Marlovits et al. en 2004 (1), es una herramienta que ha permitido una estandarización y una evaluación cuantitativa en el seguimiento de los pacientes con aloinjerto osteocondral de patela, siendo práctica, con buena correlación interobservador y con la evolución clínica del paciente.

### Objetivos

- Describir la Escala MOCART como herramienta para la evaluación de los aloinjertos osteocondrales en defectos condrales de patela.
- Ejemplificar la aplicación de la escala en un paciente de la Fundación Valle del Lili.

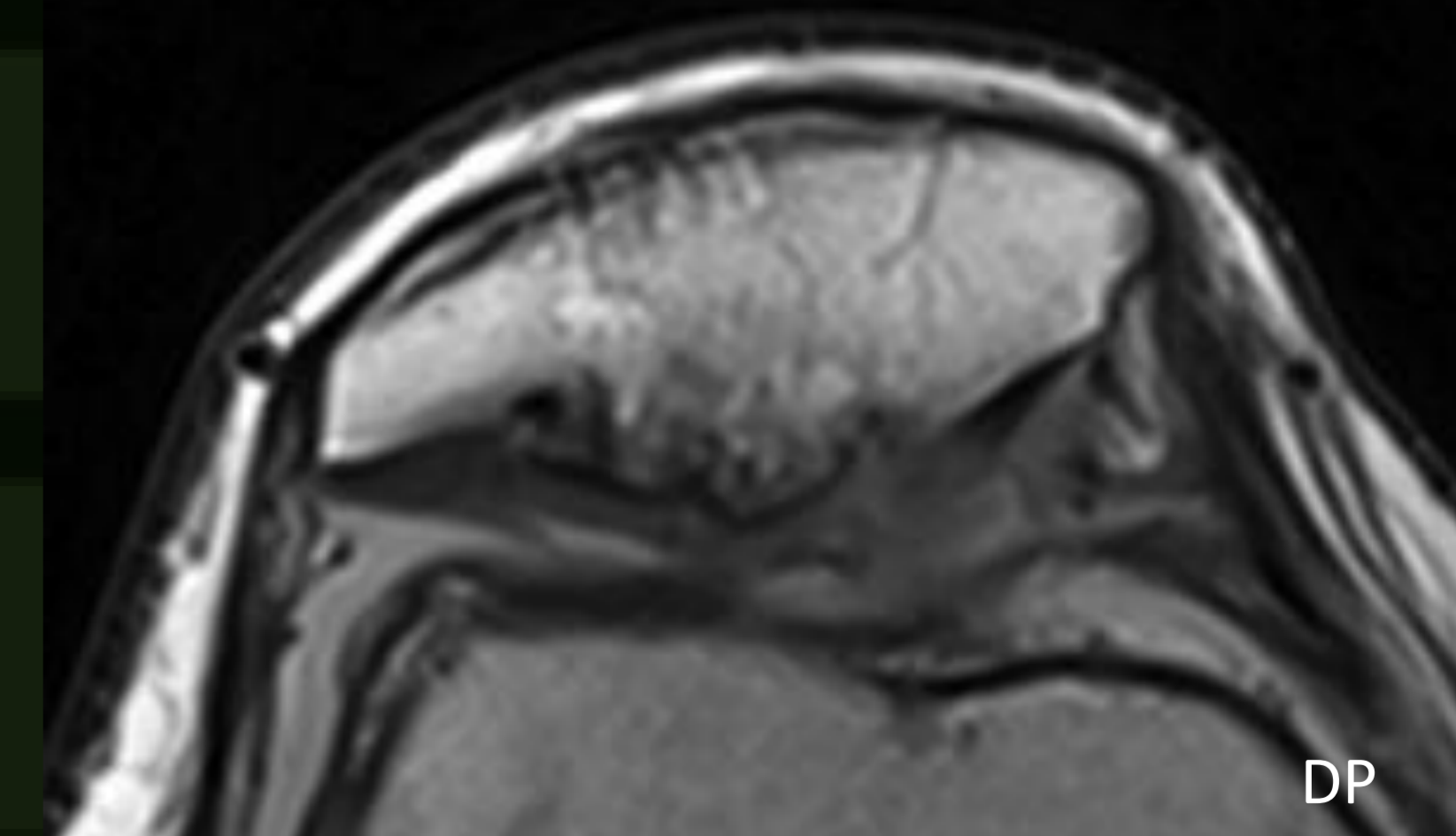
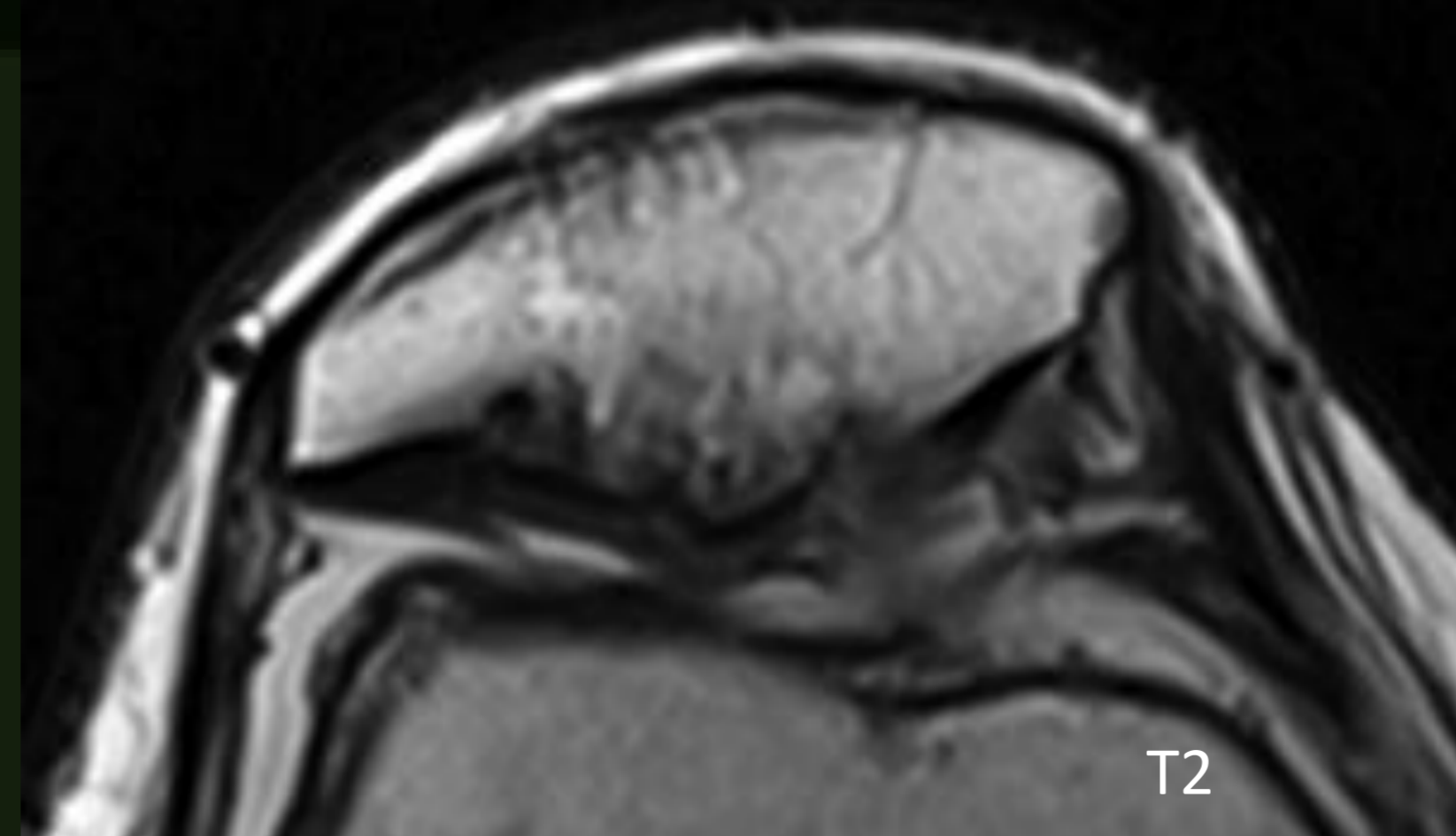
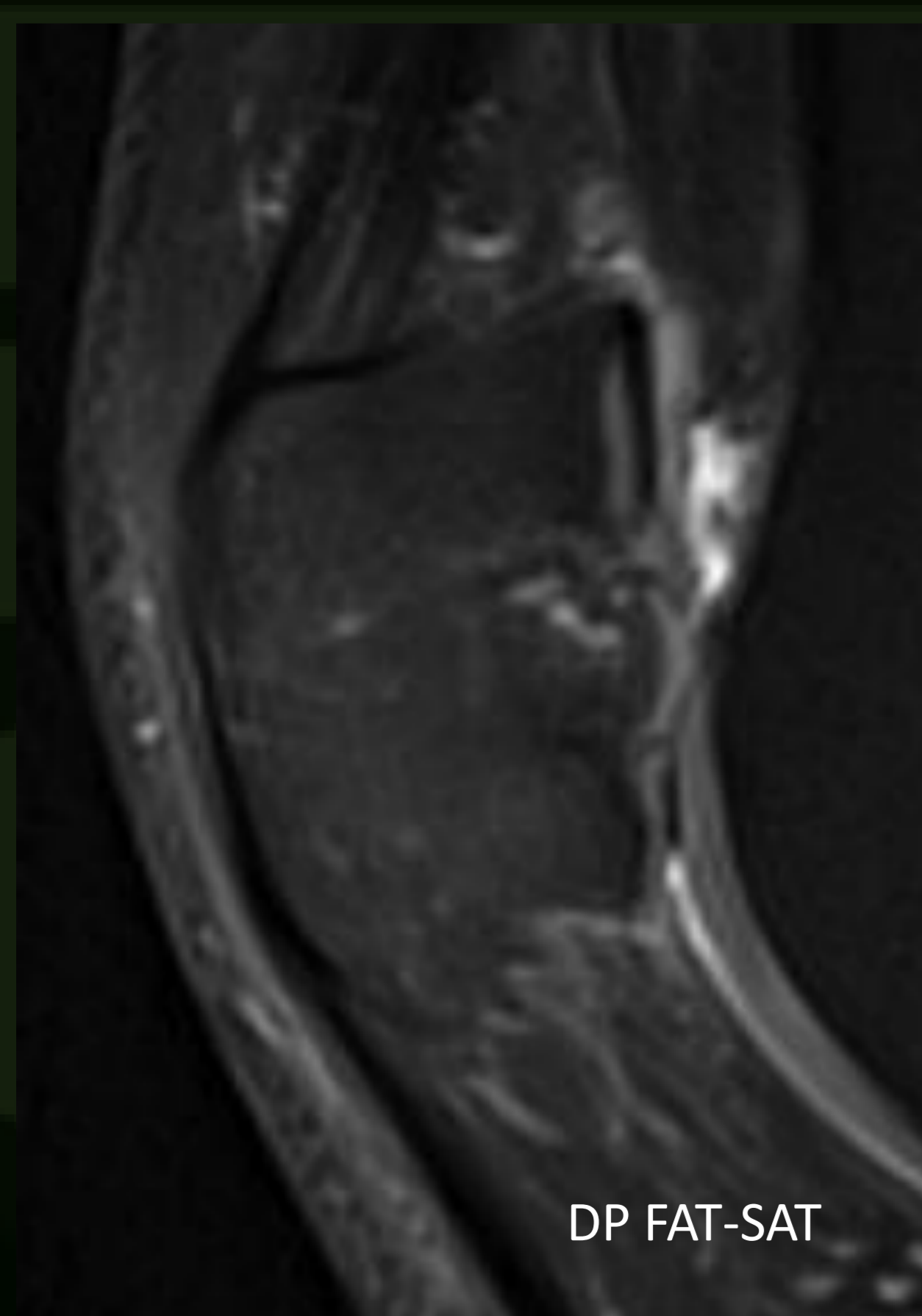
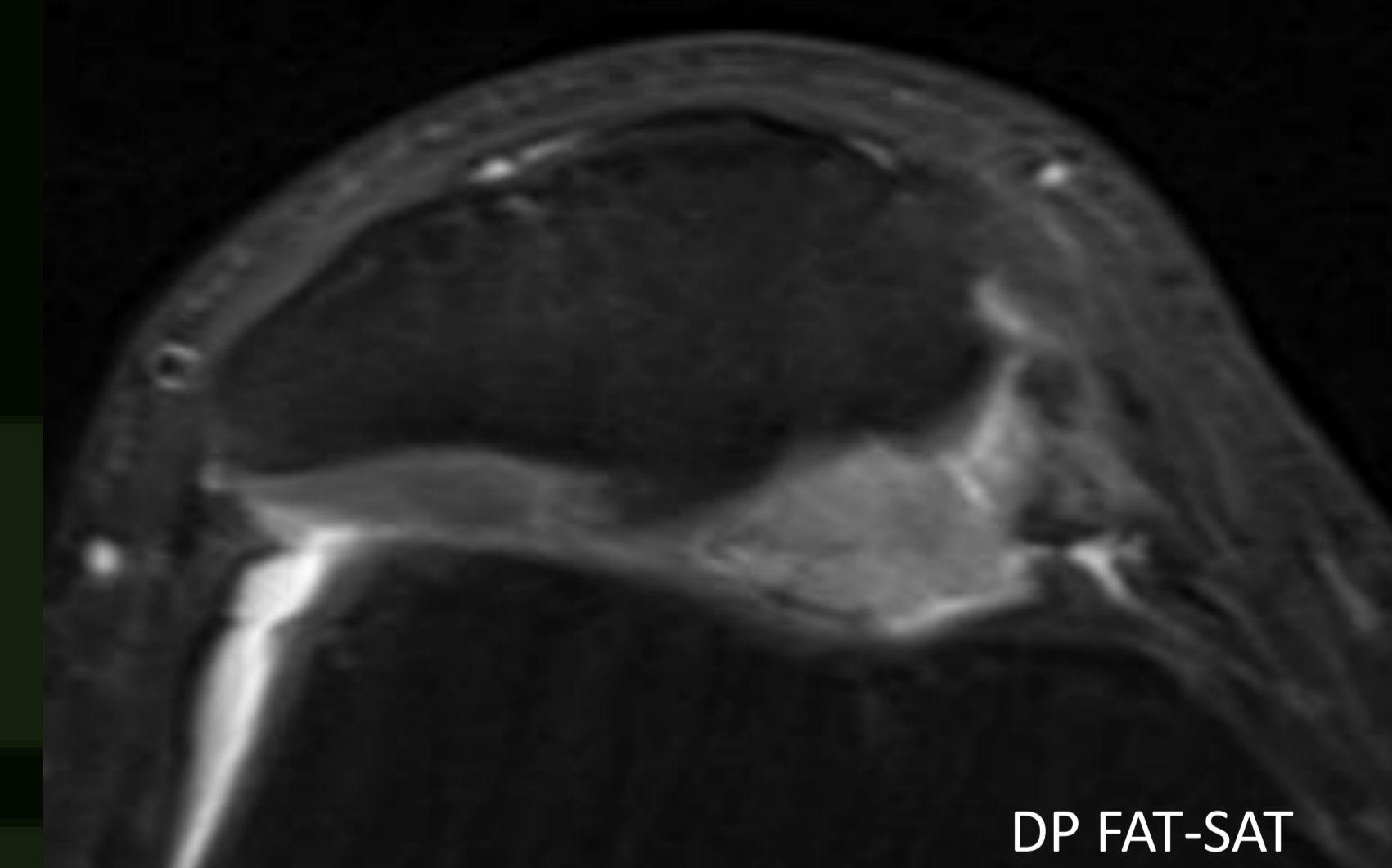
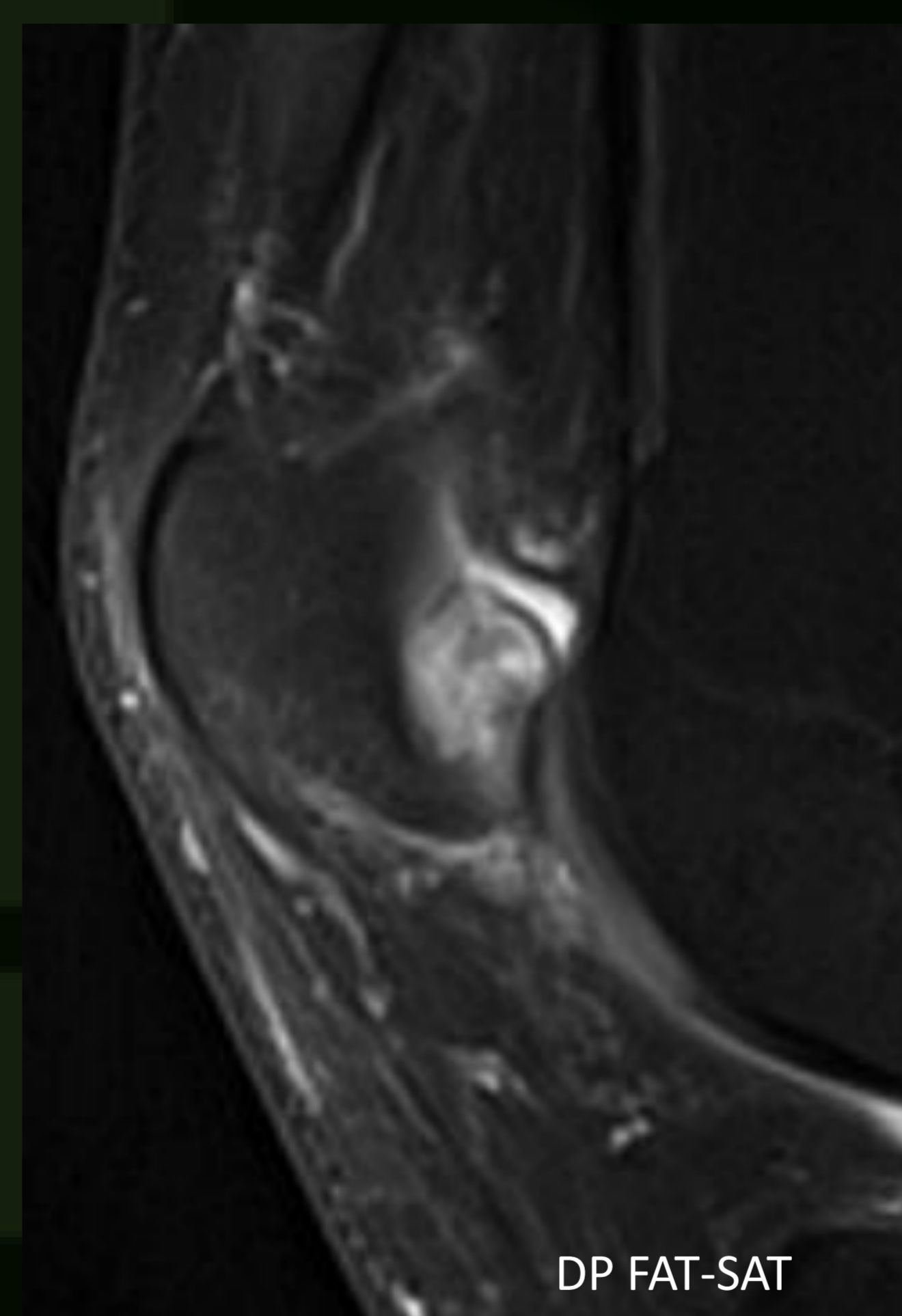
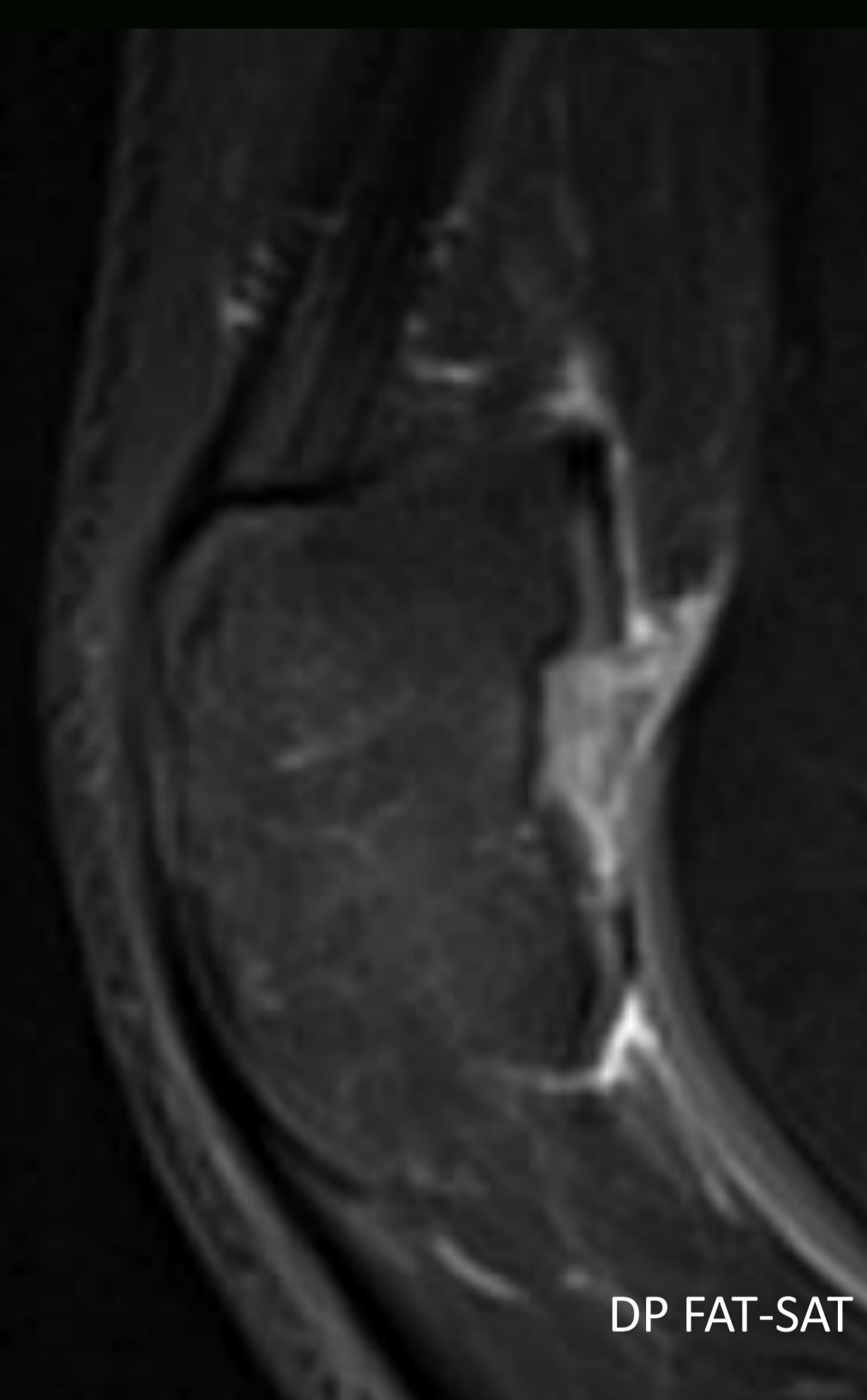
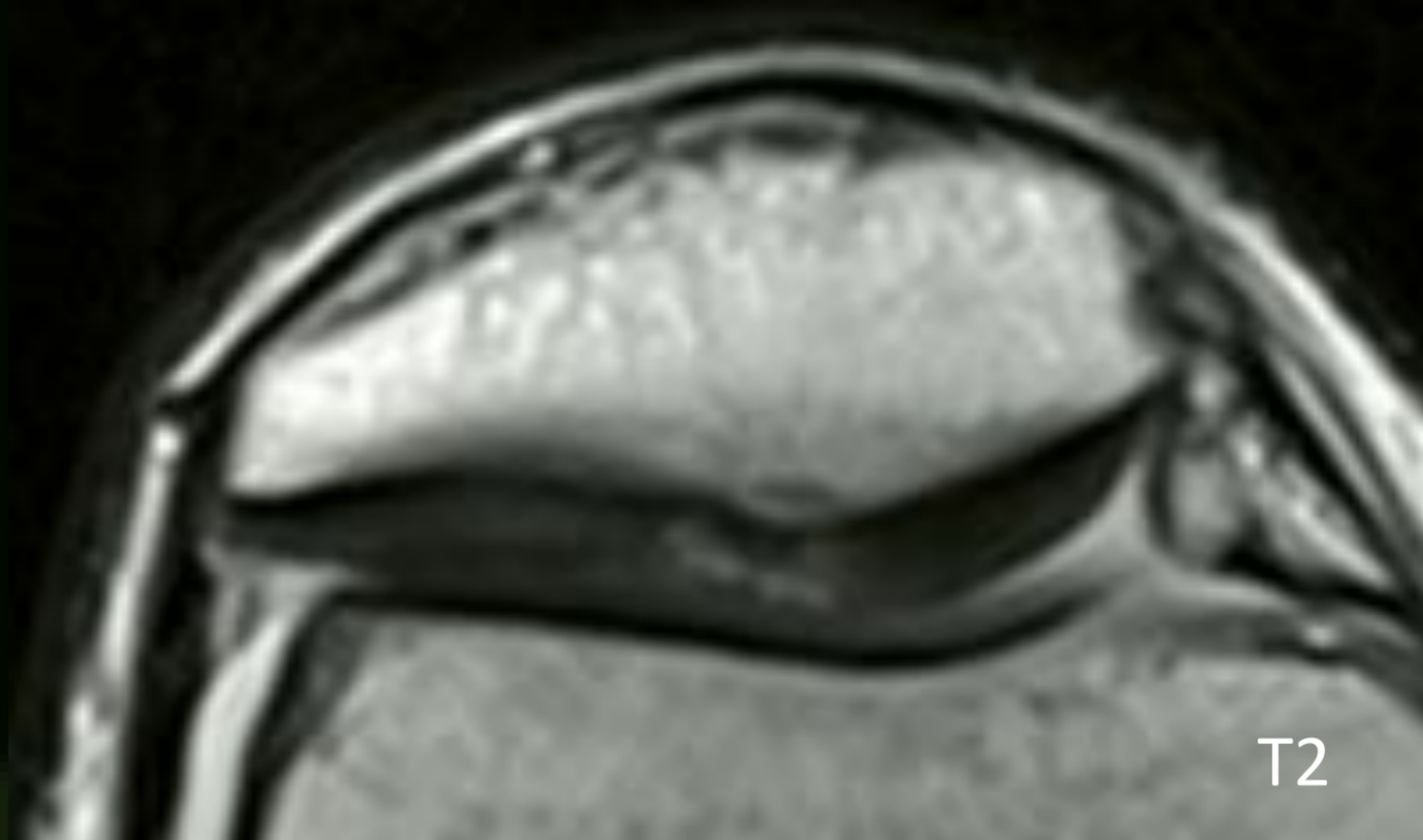
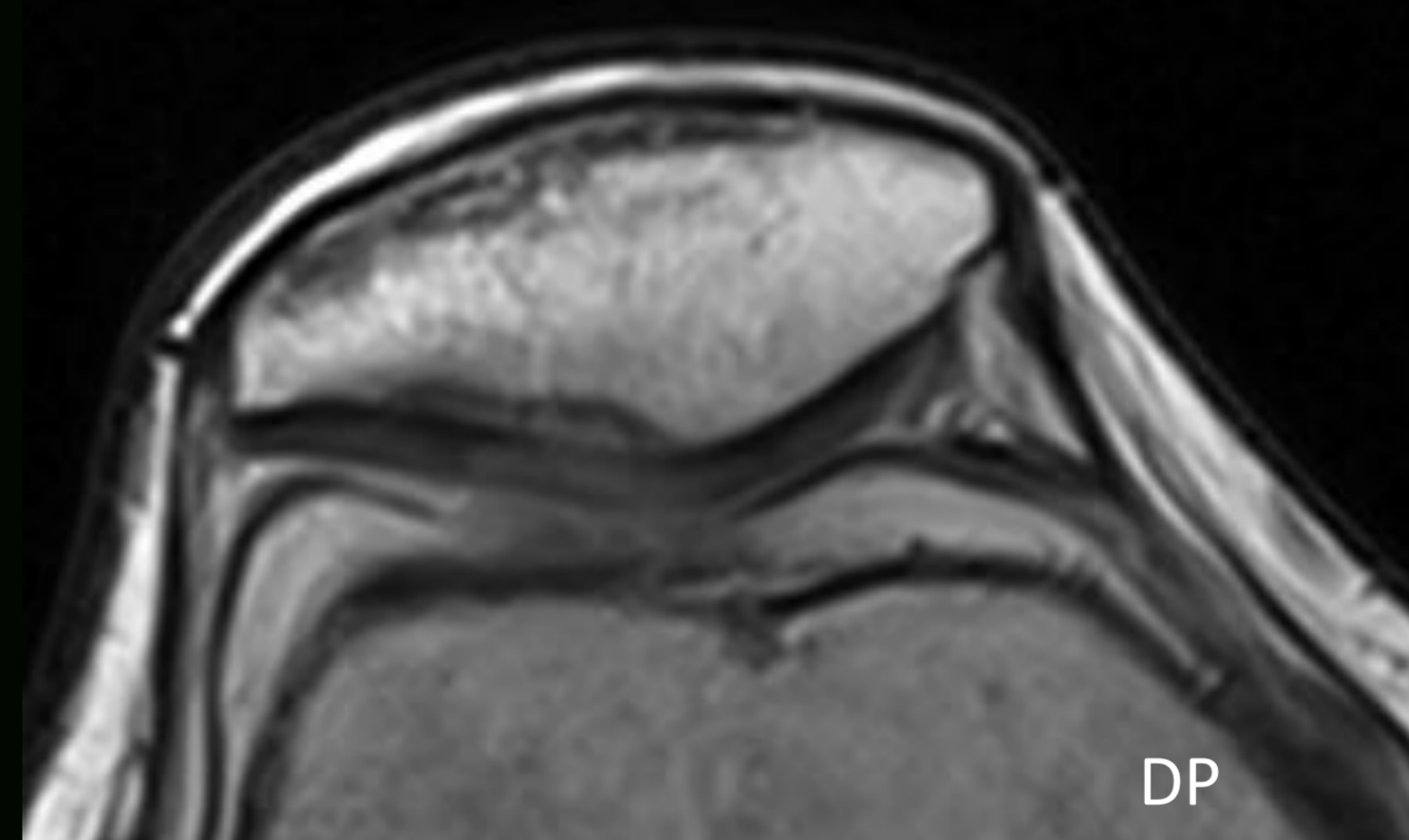
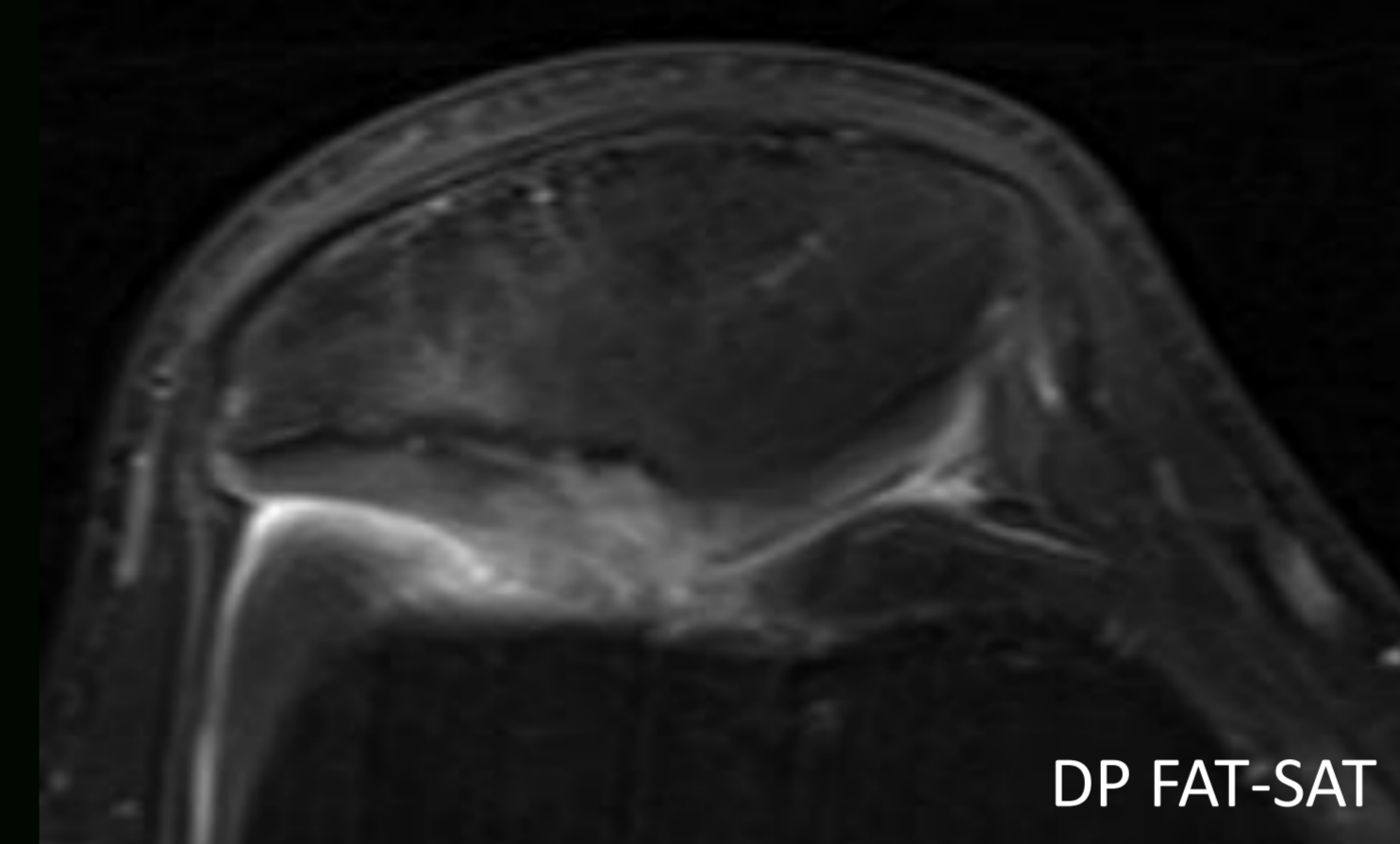
VARIABLES	Puntos
Grado del reparo del defecto y llenado del defecto	
- Completo	(20)
- Hipertrofia	(15)
- Incompleta	
>50% del cartílago adyacente	(10)
<50% del cartílago adyacente	(5)
Hueso subcondral expuesto	(0)
Integración de los bordes	
- Completa	(15)
- Incompleta	
Borde visible demarcado	(10)
Defecto visible < 50% de la longitud	(5)
Defecto visible > 50% de la longitud	(0)
Superficie del tejido reparado	
- Superficie intacta	(10)
- Superficie dañada < 50% de profundidad	(5)
- Superficie dañada > 50% de profundidad	(0)
Estructura del tejido reparado	
- Homogéneo	(5)
- Heterogéneo	(0)
Señal de intensidad del tejido reparado	
- Normal (igual al cartílago adyacente)	(30)
- Casi normal (pequeñas áreas de alteración de señal)	(15)
- Anormal (grandes áreas de alteración de señal)	(0)
Lamina subcondral	
- Intacta	(5)
- No intacta	(0)
Hueso subcondral	
- Intacta	(5)
- No intacta	(0)
Adhesiones	
- No	(5)
- Si	(0)
Derrame	
- No	(5)
- Si	(0)

Control postoperatorio a los 6 meses. Clasificación Kujala de 43.

VARIABLES	Puntos
Grado del reparo del defecto y llenado del defecto: Hipertrofia	15
Integración de los bordes: Incompleta	10
Superficie del tejido reparado: Superficie intacta	10
Estructura del tejido de reparación: Heterogéneo	0
Señal de intensidad del tejido de reparación: Casi normal	15
Lamina subcondral: No intacta	0
Hueso subcondral: No intacto	0
Adhesiones: No	5
Derrame: Si	0
<b>TOTAL</b>	<b>55</b>

En el paciente la escala MOCART que se estimó fue de 55, que indica una falta de integración del injerto (valores > 70 se consideran integración completa), lo que se correlacionó con la evolución clínica. Se considera continuar con seguimiento.

Paciente masculino de 25 años con lesión condral patelar postrauma, de espesor total a nivel del vértice asociada a delaminación condral de la carilla articular medial, considerándose lesión grado IV (clasificación ICRS) (2). Clasificación clínica de Kujala de 26.



### Conclusión:

Consideramos la escala MOCART una herramienta de fácil aplicación y con adecuada correlación con clasificaciones clínicas, lo cual permite seguimiento no invasivo y de menor costo en estos pacientes; evitando la realización de estudios de artroscopia.

### Bibliografía

1. Marlovits et al. Definition of pertinent parameters for the evaluation of articular cartilage repair tissue with high-resolution magnetic resonance imaging. Eur J Radiol. 2004 Dec;52(3):310-9.
2. Goetz H., Tallal C., Sebastian Q., et al. Evaluation and comparison of cartilage repair tissue of the patella and medial femoral condyle by using morphological MRI and biochemical zonal T2 mapping. Eur Radiol (2009) 19: 1253-1262.
3. Yun S., Hollis G., Tong J. MR Imaging of Cartilage Repair in the Knee and Ankle. RadioGraphics 2008; 28:1043-1059

